

# Computergraphik I

Zusammenfassung wichtiger Elemente der Einführung in die Computergraphik

von Alexander Köster

Student der Universität Siegen, CG1 2019/20

Letzte Aktualisierung: 4. Juni 2020

Dieser Kurs der Computergraphik befasst sich mit den Grundlagen der generativen 3D-Computergraphik und damit verbundenen Theorien wie Farbtheorie und Vektorrechnung.

*Einzig für Lernzwecke erstellt.*

*Nicht geeignet als Klausurhilfe, sollte eine solche erlaubt sein.*

*Das Erstellen einer eigenen Klausurhilfe führt zu einem besonders guten Lerneffekt.*

*Dieses Dokument sollte nur als Orientierung oder Vergleich dienen.*

*Jeder sollte seine Klausurhilfe individuell auf seinen Lernstand und seine eigenen Probleme anpassen, gut bekannte Dinge auslassen und schlecht merkbare Dinge hinzufügen.*

*Dieses Dokument beinhaltet viel mehr, als für eine tatsächliche Klausur durchschnittlich benötigt wird.*

*Für einen guten Ansatz, welche Inhalte man braucht, sollte sich an der Probeklausur orientiert werden.*

© study.woalk.de

Vervielfältigung ohne ausdrückliche Erlaubnis des Autors außerhalb der originalen Website untersagt.

# 1 Grundlagen

## 1.1 Lineare Algebra

- Vektoren  $\vec{v}_1, \dots, \vec{v}_n \in K^n$  **linear unabhängig** falls  $\sum_{i=1}^k a_i \vec{v}_i = \sum_{i=1}^k b_i \vec{v}_i \Leftrightarrow a_i = b_i$ , d.h. falls  $\sum_{i=1}^k a_i \vec{v}_i = 0 \Leftrightarrow a_i = 0$ .
- Inneres Produkt:**  $(\vec{u} \cdot \vec{v}) = \sum_{i=1}^n u_i v_i$
- Norm:**  $\|\vec{u}\| = \sqrt{(\vec{u} \cdot \vec{u})}$
- Normierter Vektor:**  $\hat{v} := \frac{\vec{v}}{\|\vec{v}\|}$
- Einschl. Winkel:**  $\angle(\vec{u}, \vec{v}) = \arccos\left(\frac{(\vec{u} \cdot \vec{v})}{\|\vec{u}\| \|\vec{v}\|}\right)$
- Kreuzprodukt** (nur 3D):  $\vec{u} \times \vec{v} = \begin{pmatrix} u_2 v_3 - u_3 v_2 \\ u_3 v_1 - u_1 v_3 \\ u_1 v_2 - u_2 v_1 \end{pmatrix}$ 
  - ▷ bilinear
  - ▷ orthogonal:  $\vec{u} \times \vec{v} \perp \vec{u}, \vec{v}$
  - ▷ nicht kommutativ, aber  $\vec{u} \times \vec{v} = -\vec{v} \times \vec{u}$
  - ▷ i. A. nicht assoziativ, Ausnahme:  $(\vec{u} \times \vec{v}) \times \vec{w} = \vec{u} \times (\vec{v} \times \vec{w}) \Leftrightarrow \vec{u} = \vec{w}$
- Parallelogrammfläche** aufgespannt durch  $\vec{u}, \vec{v}$ :  $A_{\sigma} = \underbrace{\sin \alpha}_{h} \|\vec{u}\| \|\vec{v}\| = \|\vec{u} \times \vec{v}\|$
- Projektion** von  $\vec{v}$  entlang  $\vec{n}$ :  $\vec{v}_n = (\vec{v} \cdot \hat{n}) \hat{n}$
- Spiegelung** von  $\vec{v}$  an  $\vec{n}$ :  $\vec{v}' = 2(\vec{v} \cdot \hat{n}) \hat{n} - \vec{v}$
- Ebenengleichungen
  - ▷ **Parameterform:**  $E: \vec{x} = \vec{p} + \lambda_1 \vec{r}_1 + \lambda_2 \vec{r}_2$
  - ▷ **Normalenform:**  $E: (\vec{n} \cdot (\vec{x} - \vec{p})) = 0$  mit  $\vec{n} = \vec{r}_1 \times \vec{r}_2$
  - ▷ **Hesse-NF** (in 3D):  $E: (\vec{x} \cdot \hat{n}) = d$  mit  $d = (\vec{p} \cdot \hat{n})$
- Basiswechselmatrix** von  $B$  nach  $B'$  in  $K^n$ :  $B' \text{id}_{K^n} B = (B' B_1 \mid B' B_2 \mid \dots \mid B' B_n)$ 
  - ▷  $B' \text{id}_{K^n} B' = (B' \text{id}_{K^n} B)^{-1}$
  - ▷ Sonderfall: Für Standardbasis  $E$  ist  $E' \text{id}_{K^n} B = (B_1 \mid B_2 \mid \dots \mid B_n)$

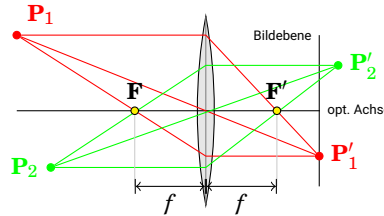
## 1.2 Farbrepräsentation

- Sichtbares Licht: ca. 380 bis 780nm
- Farbvalenz:** Menge von Farbreizen, die ein- und dieselbe Farbpfindung erzeugen
- Metamerie:** Versch. Farbreizfunktionen (Verteilung der Wellenlängen einer Lichtquelle) können dieselbe Farbpfindung erzeugen.
- Tri-Stimulus:** Farbraum ist 3-dimensionaler Vektorraum, Basis sind Primärvalenzen.
- Verschiedene Farbmodelle
  - ▷ **RGB:** Additives Farbmodell, Spektralvalenzen: Rot 700nm, Grün 546nm, Blau 436nm. *Achtung:* Manche Spektralvalenzen erfordern negative Gewichte!
  - ▷ **CIE-XYZ:**  $\mathbf{Y}$  = Helligkeit,  $\mathbf{X}, \mathbf{Z}$  so, dass alle Spektralvalenzen mit pos. Gewichten erzeugbar.
 
$$\begin{pmatrix} R \\ G \\ B \end{pmatrix} = \begin{pmatrix} 2.365 & -0.875 & -0.468 \\ -0.503 & 1.392 & 0.086 \\ 0.005 & -0.014 & 1.009 \end{pmatrix} \begin{pmatrix} X \\ Y \\ Z \end{pmatrix}$$
  - ▷ **CMY:** Subtraktives Farbmodell, Primärvalenzen sind zu RGB komplementäre Val.:  $\mathbf{C} = \mathbf{G} + \mathbf{B}$ ,  $\mathbf{M} = \mathbf{R} + \mathbf{B}$ ,  $\mathbf{Y} = \mathbf{R} + \mathbf{G}$ ,
 
$$\begin{pmatrix} C \\ M \\ Y \end{pmatrix} = \begin{pmatrix} 1 \\ 1 \\ 1 \end{pmatrix} - \begin{pmatrix} R \\ G \\ B \end{pmatrix}$$
  - ▷ **HLS:** Hue, Luminance, Saturation;  $H \in [0^\circ, 360^\circ]$ ,  $S, L \in [0, 1]$ ;  $H = 0^\circ \Rightarrow$  rot,  $H = 120^\circ \Rightarrow$  grün,  $S = 0 \Rightarrow$  Graustufe,  $S = 1 \Rightarrow$  reine Farbe,  $L = 0 \Rightarrow$  schwarz,  $L = 1 \Rightarrow$  weiß  
Umrechnung zu RGB nicht linear.
  - ▷ Weitere: HSV (Hue, Saturation, Value), HSI (Hue, Saturation, Intensity), ähnlich zu HLS.

- Gamut:** Bereich der erzeugbaren Farbvalenzen eines Gerätes

## 2 Einführung in die Rastergraphik

- Lichtbrechung:**
  - ▷ Brechungsindex  $n = \frac{c_{\text{Vakuum}}}{v_{\text{Licht im Material}}}$
  - ▷ Brechungsgesetz:  $\sin(\Theta_1) n_1 = \sin(\Theta_2) n_2$  mit  $\Theta_1 =$  Einfallswinkel zur Normale,  $\Theta_2 =$  Brechungswinkel zur Normale.
  - ▷ **Bsp.:**  $n_{\text{Luft}} \approx 1$ ,  $n_{\text{Wasser}} \approx 1.333$ ,  $n_{\text{Flintglas}} \approx 1.613$ .
  - ▷ Einfaches Modell einer dünnen Linse:



Brennpunkt  $F, F'$ : Schnittpunkt bei parallelen Strahlen auf Objekt- bzw. Bildseite  
Unschärfe, falls  $P'$  nicht auf Bildebene

- Graphik-Pipeline:**
  - ▷ **Vertex Shader (VS):**
    - Vertex-Transformationen, per-Vertex-Beleuchtung
    - Normalen-Transformation und Normalisierung der Normalen
    - Generierung von Textur-Koordinaten
    - *Stream Input:* (VAO) Position, Farbe, Normale, Textur-Koordinaten
    - *Stream Output:* Farbe, Position, Textur-Koordinaten
  - ▷ **Fragment Shader (FS):**
    - Verarbeitung der vom Rasterisierer interpolierten per-Vertex-Daten auf Fragment-Ebene
    - Auslesen von Daten (Farbe etc.) aus Texturen
    - Textur-Funktion, d. h. Ermittlung der finalen Farbe aus Textur und (interpolierter) Fragment-Intensität
    - per-Fragment-Beleuchtung
    - *Stream Input:* Farbe, Position (nur z-Tiefe), Textur-Koordinaten
    - *Stream Output:* Farbe, Tiefe
  - ▷ **Framebuffer:** Spezieller Speicher, der Informationen pro Pixel verwaltet:
    - Farbe (Color Buffer)
    - Tiefeninfos für Verdeckungsrechnung (z-Buffer/Depth Buffer)
    - Weitere Buffer für Effekte wie Spiegeln, Schatten oder Motion Blur
- Bitplanes: Je nach Anwendung unterschiedliche Anzahl Bits/Pixel (**Bsp.:** Color (8, 16, 24, 32), Tiefe (24, 32)).
- **Double Buffering:** Front- und Backbuffer für Verhinderung von Flickern bei Verwendung des gleichen Buffers für Anzeige & Bildgenerierung
- Vertex Array Objects (VAO):** Speichert den Status der gebundenen **Vertex Buffer Objects (VBOs)**, welche die Vertex-Stream-Daten speichern (**Bsp.:** VBO0: Vertex-Array (vec3), VBO1: Color-Array (vec3), VBO2: Normal-Array (vec3), VBO3: TexCoord-Array (vec2)).
- Swizzling** in OpenGL-GSM/GLSL: Für Vektor vec4 a werden die Komponenten bezeichnet als x, y, z, w oder r, g, b, a oder s, t, p, q. Anzahl und Reihenfolge beliebig (**Bsp.:** a. x, a. zy, a. xxx), Mischen verboten (**Bsp.:** a. rxx).

- Visibilitätstest: z-Buffer-Algorithmus:**

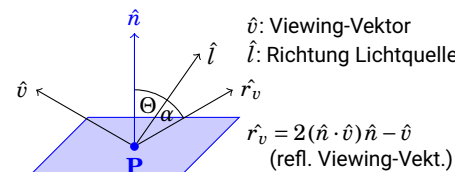
```
setColor(backgroundcolor);
setZBuffer(1.0);
foreach (polygon P) {
    foreach (pixel (x,y) in P) {
        z = computeDepth(P, x, y);
        if (zBuffer(x,y) > z) {
            setColor(x, y, computeColor(P, x, y));
            zBuffer(x,y) = z;
        }
    }
}
```

## 3 Beleuchtungsberechnung

- Exaktes Modell** (zu kompliziert): Illuminationsfunktion  $L(\mathbf{P}, \hat{d}, \lambda)$ , die die Lichtintensität für Wellenlänge  $\lambda$  im Punkt  $\mathbf{P}$  der Lichtquelle in Richtung  $\hat{d}$  beschreibt
- Einfache Lichtquellen:
  - ▷ Punktlicht
  - ▷ Richtungslicht
  - ▷ Spotlicht
- ▷ Spotlicht-Abschwächung: Lichtintensität
 
$$L(\hat{d}) = \begin{cases} (\hat{d}_0 \cdot \hat{d})^n L_0 & \arccos(\hat{d}_0 \cdot \hat{d}) < \text{cutoff} \\ 0 & \text{sonst} \end{cases}$$



- Phong-Modell:** Die Intensität am Oberflächenpunkt  $\mathbf{P}$  ist:  $I_{\text{Gesamt}} = I_a + I_d + I_s$



- ▷  $I_a = k_a * L_a$ : ambienter Anteil
  - $k_a$ : ambienter Reflexionsfaktor (Materialkonstante)
  - $L_a$ : ambiente Lichtintensität
- $I_a, k_a \in [0, 1]^3$ , \* komponentenw. Mult. Hängt weder von der Beobachter-, noch von der Lichtquellenposition ab.
- ▷  $I_d$ : diffuser Anteil
 
$$I_d = \max\{\cos \Theta, 0\} \cdot k_d * L_d = \max\{(\hat{n} \cdot \hat{l}), 0\} \cdot k_d * L_d$$
  - $k_d$ : diffuser Reflexionsfaktor (Materialkonstante)
  - $L_d$ : diffuse Lichtintensität
 Hängt nur von der Lichtquellenpos. ab.
- ▷  $I_s$ : spiegelnder Anteil
 
$$I_s = \max\{\cos \alpha, 0\}^n k_s * L_s = \max\{(\hat{l} \cdot \hat{r}_v), 0\}^n k_s * L_s$$
  - $k_s$ : spiegelnder Reflexionsfaktor (Materialkonstante)
  - $L_s$ : spiegelnde Lichtintensität
  - $n$ : Reflexionsexponent
 Hängt von Lichtquellen- und Beobachterposition ab.

### ↑ Klausuraufgabe (händische Berechnung)!

- Ermittlung von Normalenvektoren:
  - ▷ Ebenes, konvexes Polygon: Kreuzprodukt zweier Kanten
  - ▷ Polyederecke: Mittelung der umliegenden Normalen
  - ▷ Parametrische Fläche  $F: \mathbb{R}^2 \rightarrow \mathbb{R}^3$ , Normale im Punkt  $\mathbf{P} = F(u_0, v_0)$ :  $\vec{n} = \frac{\partial F}{\partial u}(u_0, v_0) \times \frac{\partial F}{\partial v}(u_0, v_0)$  (komponentenweise partielle Ableitung)

## 4 Transformationen, Hierarchien

- Affine Kombination:** Für  $\mathbf{P}_1, \dots, \mathbf{P}_k \in \mathcal{A}$  und Skalare  $s_1 + \dots + s_k = 1$  ist  $\sum_{i=1}^k s_i \mathbf{P}_i \in \mathcal{A}$ . Ansonsten ist  $\mathbf{P} + \mathbf{Q}$  für Punkte i. A. nicht def.!
- Konvexe Hülle** der Punkte  $\mathbf{P}_1, \dots, \mathbf{P}_k \in \mathcal{A}$ : Die kleinste, sie umfassende konvexe Menge, d. h.  $\{\sum_{i=1}^k s_i \mathbf{P}_i \mid \sum_{i=1}^k s_i = 1, s_i \geq 0 \forall i \in \{1, \dots, k\}\}$
- Affine Transformation:** Abb.  $T: \mathcal{A} \rightarrow \mathcal{A}$ , wenn sie affine Kombinationen invariant lässt, d. h.  $\forall \mathbf{P}_1, \dots, \mathbf{P}_k \in \mathcal{A}$  und  $s_i$  wie oben:  

$$T(s_1 \mathbf{P}_1 + \dots + s_k \mathbf{P}_k) = s_1 T(\mathbf{P}_1) + \dots + s_k T(\mathbf{P}_k)$$
- $T$  affin  $\Leftrightarrow \exists M \in \mathbb{R}^{n \times n}, \vec{t} \in \mathcal{A}: T(\mathbf{P}) = M\mathbf{P} + \vec{t}$
- Homogene Koordinaten:**

$$\mathbf{P} = \begin{pmatrix} p_x \\ p_y \\ p_z \end{pmatrix} \rightsquigarrow \begin{bmatrix} p_x \\ p_y \\ p_z \\ 1 \end{bmatrix}, \vec{v} = \begin{pmatrix} v_x \\ v_y \\ v_z \end{pmatrix} \rightsquigarrow \begin{bmatrix} v_x \\ v_y \\ v_z \\ 0 \end{bmatrix}$$

$$M\mathbf{P} + \vec{t} \rightsquigarrow \begin{bmatrix} M & \vec{t} \\ 0 & 0 & 0 & 1 \end{bmatrix} \begin{bmatrix} p_x \\ p_y \\ p_z \\ 1 \end{bmatrix}$$

Ist die  $w$ -Koordinate weder 0 noch 1, so muss der Vektor auf 1 normiert werden.

- Translation** um  $\vec{t}$ :

$$\mathbf{P} \mapsto \mathbf{P} + \begin{pmatrix} t_x \\ t_y \\ t_z \end{pmatrix} \rightsquigarrow T_{\vec{t}} = \begin{bmatrix} 1 & 0 & 0 & t_x \\ 0 & 1 & 0 & t_y \\ 0 & 0 & 1 & t_z \\ 0 & 0 & 0 & 1 \end{bmatrix}$$

$$(T_{\vec{t}})^{-1} = T_{-\vec{t}}$$

- Skalierung:**  $\begin{pmatrix} p_x \\ p_y \\ p_z \end{pmatrix} \mapsto \begin{pmatrix} s_x \cdot p_x \\ s_y \cdot p_y \\ s_z \cdot p_z \end{pmatrix}$

$$\rightsquigarrow S_{s_x, s_y, s_z} = \begin{bmatrix} s_x & 0 & 0 & 0 \\ 0 & s_y & 0 & 0 \\ 0 & 0 & s_z & 0 \\ 0 & 0 & 0 & 1 \end{bmatrix}$$

$$(S_{s_x, s_y, s_z})^{-1} = S_{\frac{1}{s_x}, \frac{1}{s_y}, \frac{1}{s_z}}$$

- Rotation** um  $z$ -Achse mit Winkel  $\phi$ :

$$R_{z, \phi} = \begin{bmatrix} \cos \phi & -\sin \phi & 0 & 0 \\ \sin \phi & \cos \phi & 0 & 0 \\ 0 & 0 & 1 & 0 \\ 0 & 0 & 0 & 1 \end{bmatrix}$$

$$(R_{z, \phi})^{-1} = R_{z, -\phi}$$

- Kumulierte Transformationen:**

- Transformation bzgl. eines festen Weltkoordinatensystem (WC) – direkte Anwendung der aff. Transf. auf Punkte. Nachteil: immer in Relation zum WC, daher: Translation immer zum Schluss.

- Transformation bzgl. des lokalen Modell- oder Master-Koordinatensystems (MC). Nachteil: Längeneinheit 1 skaliert mit, daher: Skalierung immer zum Schluss.

Letztere für Modellierung wesentlich intuitiver.

- Transf. MC  $\rightarrow$  WC** des Objektpunktes  $\mathbf{P}^{\text{MC}}$ :

$$\mathbf{P}^{\text{WC}} = (T(R(S \mathbf{P}^{\text{MC}}))) = (TRS) \mathbf{P}^{\text{MC}}$$

- Werden Punkte mit der Matrix  $T$  transformiert, müssen Normalen mittels  $(T^{-1})^T = (T^T)^{-1}$  transformiert werden, damit Orthogonalitätsbeziehung erhalten bleibt.

- Beobachterkoordinatensystem:** rechtshändiges, orth. Koord. sys.  $\{\mathbf{V}, \vec{v}_x, \vec{v}_y, \vec{v}_z\}$  in WC

- $\vec{v}_x$ : Beobachter-Horizont

- $\vec{v}_y$ : Vertikale, d. h.  $\vec{v}_x - \vec{v}_y$ -Ebene ist Projektionsebene für den Beobachter

- $\vec{v}_z$ : Blickrichtung (entlang  $-\vec{v}_z$ )

**Viewing-Transformation** (Wechsel WC  $\rightarrow$  VC):

$$T_V = \left[ \begin{array}{ccc|c} A^T & & & -A^T \mathbf{V} \\ 0 & 0 & 0 & 1 \end{array} \right]$$

mit  $A = (\vec{v}_x \mid \vec{v}_y \mid \vec{v}_z)$ ,

$$T_V^{-1} = \left[ \begin{array}{ccc|c} A & & & \mathbf{V} \\ 0 & 0 & 0 & 1 \end{array} \right]$$

- Sichtbereich:** Teilmenge des 3D-Raumes in VC, die im 2D-Bild dargestellt wird. In **Normalized Device Coordinates (NDC)**  $[-1, 1]^3$ , linkshändiges Koord.-sys., d. h.  $+z \propto$  „Entfernung zum Beobachter“.

2D-Bild entsteht durch anschließende Parallelprojektion in NDC entlang  $z$ -Achse.

**Projektionsart:** Wie wird die 3D-Geometrie später auf das 2D-Bild projiziert?

- $\triangleright$  **Orthographisch:** Sichtbereich ist ein Quader (Parallelprojektion).

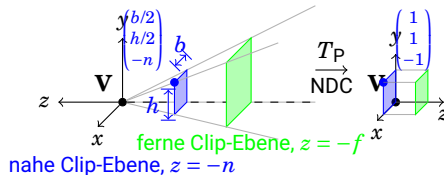
$$T_O = \begin{bmatrix} \frac{2}{\Delta x} & 0 & 0 & -\frac{2x_{\min}}{\Delta x} - 1 \\ 0 & \frac{2}{\Delta y} & 0 & -\frac{2y_{\min}}{\Delta y} - 1 \\ 0 & 0 & \frac{2}{\Delta z} & -\frac{2z_{\min}}{\Delta z} + 1 \\ 0 & 0 & 0 & 1 \end{bmatrix}$$

$$\text{d. h. } T_O \mathbf{P} = \begin{pmatrix} \frac{2(p_x - x_{\min})}{\Delta x} - 1 \\ \frac{2(p_y - y_{\min})}{\Delta y} - 1 \\ \frac{2(p_z - z_{\min})}{\Delta z} + 1 \end{pmatrix} \in [-1, 1]^3$$

- $\triangleright$  **Perspektivisch:** Sichtbereich ist ein Pyramidenstumpf (Viewing Frustum) mit Spitze im Beobachterpunkt  $\mathbf{V}$ .

$$T_P = \begin{bmatrix} \frac{2}{b} & 0 & 0 & 0 \\ 0 & \frac{2}{h} & 0 & 0 \\ 0 & 0 & \frac{n+f}{n(n-f)} & \frac{2f}{n-f} \\ 0 & 0 & -\frac{1}{n} & 0 \end{bmatrix}$$

**Keine affine Transf.!** D. h. nicht winklerhaltend  $\Rightarrow$  nicht geeignet für Raytracing oder Beleuchtungsberechnung.



- Geraden werden auf Geraden abgebildet.
- Ordnung von Punkten auf Geraden bleibt erhalten.
- Geraden durch Beobachterpkt. werden zu  $z$ -achsenparallelen Geraden.
- Tiefenabstände werden verzerrt; Abstände nah am Beobachter werden größer, ferne werden verkleinert.

- Gerichteter azykl. Graph (DAG)/Szenengraph**

- $\triangleright$  Wurzel: Viewing-Transformation  $V$
- $\triangleright$  Knoten: Transformationen und Geometrien
- $\triangleright$  Blätter: Geometriebeschreibungen der Primitive
- $\triangleright$  Pfad von Wurzel zu Blatt (Geometrie) entspricht einem gezeichneten Primitiv.

- Matrix-Stack:** Speicherstruktur zur Umsetzung eines DAG

- $\triangleright$  CTM: oberstes Element des Stack
- $\triangleright$  Multiplikation von rechts = Transformation in lokalen Koordinaten

## 5 Bildspeicherung

- Vektorgrafiken:**

- $\triangleright$  Bildschärfe unabhängig der Skalierung
- $\triangleright$  weniger speicherintensiv bei einfachen Bildern
- $\triangleright$  Speicherung von Details aufwendig bis unmöglich (ungeeignet für Fotografien)
- $\triangleright$  **Bsp.:** SVG-Format, 3D-CAD (DXF, IGES, ...), Meta-Formate (PS, CGM, WMF, ...)

- Rastergrafiken:**

- $\triangleright$  „punktgenaue“ Darstellung bel. Details
- $\triangleright$  nur bedingt skalierbar, speicherintensiv
- $\triangleright$  **Bsp.:** JPEG, TIFF, GIF, PNG, PNM (PBM, PGM, PPM), XPM, BMP, ...

- $\triangleright$  Komprimierung

- Verlustfreie Komprimierung (d. h. ursprüngliche Daten vollständig wiederherstellbar)

- Runlength-Encoding  
**Bsp.:** HAAAALLO  $\rightarrow$  H4ALLO
- Huffman-Codierung
- Difference Coding (z. B. in Videos mit Keyframes)

- Verlustbehaftete Komprimierung

- **Quantisierung:** Diskretisierung der Farbräume auf z.B. High-Color (16 Bit, 65536 Farben), TrueColor (24 Bit (bzw. 32 Bit mit Transparenz), 16777216 Farben)

- **Frequenzraumverfahren:** Transf. des Bildes in anderen Darstellungsraum durch z.B. Fourier-Transformation oder Diskrete Cosinustransformation (JPEG): Arbeite auf  $8 \times 8$ -Pixelblöcken, speichere Frequenzwerte, Sortierung in aufsteigender Folge, Quantisierung der Freq., Difference Coding

- **Meta-Formate:** Kombination der beiden

## 6 Texturen

- Textur ist diskr. Bild aus  $m \times n$  Bildpkt. (**Texel**)

- auflösungsunabh. **Texturkoord.**  $s, t \in [0, 1]$

- **Lineares Mapping:** Texturkoordinaten entsprechen Punkt-Ebenen-Abstand:

Definiere Ebenen (Koord.-f.) anhand  $\vec{n} = \begin{pmatrix} a \\ b \\ c \end{pmatrix}$ :

$$E_s: a_s x + b_s y + c_s z + d_s = 0$$

$$E_t: a_t x + b_t y + c_t z + d_t = 0$$

Texturkoordinaten an Punkt  $\mathbf{P} = \begin{pmatrix} p_x \\ p_y \\ p_z \end{pmatrix}$ :

$$s = a_s p_x + b_s p_y + c_s p_z + d_s$$

$$t = a_t p_x + b_t p_y + c_t p_z + d_t$$

(Einsetzen in Koordinatenform für Abstand)

Nur  $(a_s, b_s, c_s, d_s)^T, (a_t, b_t, c_t, d_t)^T$  als uniform-Parameter speichern reicht zur Berechnung von  $s, t$  als Skalarprodukt.

- **Cube Maps:** Umgebung in alle 6 Raumrichtungen, Sampling anhand einer Richtung  $\vec{r}_i = (x, y, z)^T$  und deren maximaler Komponente  $m = \max\{\pm x, \pm y, \pm z\}$ :

$$\triangleright -x = m: \text{„left“}; (s', t') = \left(\frac{-z}{x}, \frac{y}{x}\right)$$

$$\triangleright x = m: \text{„right“}; (s', t') = \left(\frac{z}{x}, \frac{y}{x}\right)$$

$$\triangleright -y = m: \text{„down“}; (s', t') = \left(\frac{x}{y}, \frac{-z}{y}\right)$$

$$\triangleright y = m: \text{„up“}; (s', t') = \left(\frac{x}{y}, \frac{z}{y}\right)$$

$$\triangleright -z = m: \text{„front“}; (s', t') = \left(\frac{x}{z}, \frac{y}{z}\right)$$

$$\triangleright z = m: \text{„back“}; (s', t') = \left(\frac{-x}{z}, \frac{y}{z}\right)$$

Anpassung von  $[-1, 1]^2$  auf  $[0, 1]^2$ :

$$(s, t) = \frac{1}{2}(s', t') + \left(\frac{1}{2}, \frac{1}{2}\right)$$

- $\triangleright$  Umgebung erscheint als unendlich weit entfernt (keine Abhängigkeit von Pos.)

- $\triangleright$  Reflexion durch reflektierten View-Vektor zum Sampling der Cube Map

- Textur-Interpolation (**Magnification**):

- $\triangleright$  **Nearest Neighbor:** Wähle einfach Intensität des nächstliegenden Texel

- Pixelstruktur ggf. sichtbar

- $\triangleright$  **Bi-lineare Interpolation:** aff. Kombination der vier umliegenden Texel-Intensitäten  $\mathbf{B}_{i,j}, \mathbf{B}_{i+1,j}, \mathbf{B}_{i,j+1}, \mathbf{B}_{i+1,j+1}$ :

$$\alpha, \beta \in [0, 1] \text{ sind } x\text{- bzw. } y\text{-Abst. zu } \mathbf{B}_{i,j}$$

$$I = (1 - \alpha)(1 - \beta) \mathbf{B}_{i,j} + \alpha(1 - \beta) \mathbf{B}_{i+1,j}$$

$$+ (1 - \alpha)\beta \mathbf{B}_{i,j+1} + \alpha\beta \mathbf{B}_{i+1,j+1}$$

- rechenaufwändig

- Unschärfe statt Pixelstruktur

- **Ungültige Texturkoordinaten** ( $s, t \notin [0, 1]^2$ ):

▷ Periodisch (**repeat**):  
 $(s, t) \mapsto (s - [s], t - [t])$

▷ Abschneiden (**clamp**):

$$s \mapsto \begin{cases} s & s \in [0, 1] \\ 0 & s < 0 \\ 1 & s > 1 \end{cases}$$

▷ Kombination der Anpassungsarten möglich (**Bsp.:** `repeat in s, clamp in t`).

- **Minification:** mehrere Texel werden auf ein Bildpixel abgebildet  $\Rightarrow$  Aliasing (**Moire-Effekt**)

▷ **Mip-Mapping:** Verwendung von vorgefertigten Verkleinerungen der Textur.

**Bsp.:** Durchschnittsberechnung, halbierte Texturauflösung in jeder Dimension (d. h.  $\frac{1}{4}$  der Originalgröße).

Kann automatisch berechnet werden.

▷ Auswahl des MipMap-Levels, sodass Pixelgröße  $\approx$  Texelgröße.

Umschalten kann sichtbar sein! Daher: lineare Interpolation zwischen Mip-Map-Levels.

- **Textur-Funktionen:** Kombination der Textur- und Beleuchtungs-Intensität.

▷ **Replace:** Verwende nur den Texturwert.

▷ **Modulate:** Verwende als Objektmaterial weiß, dann beinhaltet die Beleuchtung nur Helligkeitsschwankungen durch Geometrie. Dann lege die Texturintensität darauf:  $I(x, y) = I_B(x, y) * I_T(x, y)$  (komponentenweise Multiplikation)

## 7 Algorithmen der Rastergraphik

- **Erinnerung:** Window-Koord. in NDC:  $[-1, 1]^2$

- Window Edge Coordinates (**WEC**):

Beschreibung eines Punktes  $\mathbf{P} = (p_x, p_y)^T$  anhand seiner Lage zu den Fensterkanten:

▷  $\mathbf{P}$  rechts von linker Fensterkante (innen)  $\Leftrightarrow p_x \geq -1$

▷  $\mathbf{P}$  links von rechter Fensterkante (innen)  $\Leftrightarrow p_x \leq 1$

▷  $\mathbf{P}$  oberhalb von unterer Fensterkante (innen)  $\Leftrightarrow p_y \geq -1$

▷  $\mathbf{P}$  unterhalb von oberer Fensterkante (innen)  $\Leftrightarrow p_y \leq 1$

$\text{WEC}(\mathbf{P}) = (\text{wec}_L(\mathbf{P}), \text{wec}_R(\mathbf{P}), \text{wec}_B(\mathbf{P}), \text{wec}_T(\mathbf{P})) = (1 + p_x, 1 - p_x, 1 + p_y, 1 - p_y)$

▷  $\text{sign}(\text{wec}_i(\mathbf{P}))$  gibt Innen- (+) bzw. Außenlage (-) bzgl. Fensterkante  $i$  an

▷  $|\text{wec}_i(\mathbf{P})|$  ist Abstand zur Fensterkante.

- **outcode-Schema:** Beschr. von  $\mathbf{P} = (p_x, p_y)^T$  bzgl. aller Fensterkanten:

$\text{outcode}(\mathbf{P}) = (b_L, b_R, b_B, b_T)$ ,

wobei  $b_i = \begin{cases} 1 & \text{wec}_i(\mathbf{P}) < 0 \text{ (außen)} \\ 0 & \text{wec}_i(\mathbf{P}) \geq 0 \text{ (innen)} \end{cases}$

▷ **Trivial Accept:**

$\mathbf{P}_1 \mathbf{P}_2$  liegt innerhalb des Fensters  $\Leftrightarrow \text{outcode}(\mathbf{P}_1) \vee \text{outcode}(\mathbf{P}_2) = 0$

▷ **Trivial reject:**

$\mathbf{P}_1 \mathbf{P}_2$  liegt außerhalb einer Fensterkante  $\Leftrightarrow \text{outcode}(\mathbf{P}_1) \wedge \text{outcode}(\mathbf{P}_2) \neq 0$

Ansonsten: **Clipping** gegen die Fensterkanten mit  $b_i(\mathbf{P}_1) \neq b_i(\mathbf{P}_2)$  durchführen.

- **$\alpha$ -Clipping:** Ermittlung des Schnittpunktes der Strecke  $\mathbf{P}_1 \mathbf{P}_2$  mit einer erweiterten Fensterkante.  $\mathbf{P}(\alpha_i) = \mathbf{P}_1 + \alpha_i (\mathbf{P}_2 - \mathbf{P}_1)$

$$\alpha_i = \frac{\text{wec}_i(\mathbf{P}_1)}{\text{wec}_i(\mathbf{P}_1) - \text{wec}_i(\mathbf{P}_2)}$$

- **Liang-Barsky-Algorithmus:** Berechnet den sichtbaren Anteil  $\mathbf{Q}_1 \mathbf{Q}_2$  zu  $\mathbf{P}_1 \mathbf{P}_2$  (oder false falls Strecke außerhalb) mit outcode/WEC: Für je  $L, R, B, T$ : TR?  $\xrightarrow{\text{nein}}$  TA?  $\xrightarrow{\text{nein}}$   $\alpha$ -Clipping

- Polygon-Clipping: **Sutherland-Hodgman-Alg.:** INPUT: Sequenz der Eckpunkte des Subjekt-Polygons (subjectPolygon), Kanten des Clip-Polygon (clipPolygon), hier:  $\{L, R, B, T\}$ .

ALGORITHMUS (Pseudocode):

List outputList  $\leftarrow$  subjectPolygon

FOR Edge clipEdge in  $\{L, R, B, T\}$  DO

List inputList  $\leftarrow$  outputList

outputList.clear()

Point  $\mathbf{S} \leftarrow$  inputList.last()

FOR Point  $\mathbf{E}$  in inputList DO

IF  $\mathbf{E}$  inside clipEdge THEN

IF  $\mathbf{S}$  not inside clipEdge THEN

outputList.add(ComputeIntersection( $\mathbf{S}, \mathbf{E}, \text{clipEdge}$ ))

ENDIF

outputList.add( $\mathbf{E}$ )

ELSEIF  $\mathbf{S}$  inside clipEdge THEN

outputList.add(ComputeIntersection( $\mathbf{S}, \mathbf{E}, \text{clipEdge}$ ))

ENDIF

$\mathbf{S} \leftarrow \mathbf{E}$

ENDFOR

ENDFOR

- Clipping gegen beliebiges konvexes Polygon  $\mathcal{Q} = (\mathbf{Q}_1, \dots, \mathbf{Q}_m)$ :

▷ **Orientierter Abstand** von  $\mathbf{P}$  zur Kante

$$\mathbf{Q}_i \mathbf{Q}_{i+1}: \begin{cases} = 0 & \mathbf{P} \text{ liegt auf Gerade} \\ > 0 & \mathbf{P} \text{ im Äußeren} \\ < 0 & \mathbf{P} \text{ im Inneren} \end{cases}$$

▷ verallgemeinerte WEC:

$$\text{wec}_i(\mathbf{P}) = -(\vec{n} \cdot (\mathbf{P} - \mathbf{Q}_i))$$

- Clipping in 3D:

▷ Clipping gegen 6 Seitenflächen (statt 4 Geraden oder Polygon)

▷ **Nach perspektiv. Tranf. ist i. A.  $w \neq 1$ .**

Drücke WEC in homogenen Koordinaten ohne Division durch  $w$  aus:

$$\begin{bmatrix} x \\ y \\ z \\ w \end{bmatrix} \begin{cases} \text{links innerh.} \\ \text{rechts innerh.} \\ \text{unten innerh.} \\ \text{oben innerh.} \\ \text{vorne innerh.} \\ \text{hinten innerh.} \end{cases} \Leftrightarrow \begin{cases} w + x \geq 0 \\ w - x \geq 0 \\ w + y \geq 0 \\ w - y \geq 0 \\ w + z \geq 0 \\ w - z \geq 0 \end{cases}$$

aus Beobachtersicht.

$\text{WEC}(\mathbf{P}) := (w + x, w - x, w + y, w - y, w + z, w - z)$

- **Window-to-Viewport-Mapping:** Transformation NDC  $\rightarrow$  RC (Rasterkoordinaten).

▷ Längenverhältnisse müssen erhalten bleiben.

$$\mathbf{P} = \begin{pmatrix} p_x \\ p_y \end{pmatrix} \in \left[ x_{\min}^W, x_{\max}^W \right] \times \left[ y_{\min}^W, y_{\max}^W \right]$$

$$T_{W \rightarrow V}(\mathbf{P}) = \begin{pmatrix} q_x \\ q_y \end{pmatrix} \in \left[ x_{\min}^V, x_{\max}^V \right] \times \left[ y_{\min}^V, y_{\max}^V \right]$$

$$\text{mit } q_x = x_{\min}^V + \frac{x_{\max}^V - x_{\min}^V}{x_{\max}^W - x_{\min}^W} (p_x - x_{\min}^W)$$

$$\text{und } q_y = y_{\min}^V + \frac{y_{\max}^V - y_{\min}^V}{y_{\max}^W - y_{\min}^W} (p_y - y_{\min}^W).$$

- **Rasterisierung einer Gerade:** Approximation der Strecke  $\mathbf{P}_1 \mathbf{P}_2$  durch Pixel  $\mathbf{P}_i = (x_i, y_i)$ .

▷ Betrachte Gerade mit Steigung  $\in [0, 1]$

- Setze ein Pixel pro Spalte.

- Zuletzt gesetztes Pixel  $(p_x, p_y)^T$ , Kriterium f. nächstes Pixel: Lage von

$$\mathbf{M} = \begin{pmatrix} m_x \\ m_y \end{pmatrix} := \begin{pmatrix} p_x + \frac{1}{2} \\ p_y + \frac{1}{2} \end{pmatrix} \text{ bzgl. } \overline{\mathbf{P}_1 \mathbf{P}_2}$$

bzw. das Vorzeichen von

$$\delta := m_y - (y\text{-Wert v. } \overline{\mathbf{P}_1 \mathbf{P}_2} \text{ bei } m_x):$$

•  $\overline{\mathbf{P}_1 \mathbf{P}_2}$  verläuft unterhalb von  $\mathbf{M}$  bzw.  $\delta < 0 \Rightarrow (p_x + 1, p_y)^T$

•  $\overline{\mathbf{P}_1 \mathbf{P}_2}$  verläuft oberhalb von  $\mathbf{M}$  bzw.  $\delta > 0 \Rightarrow (p_x + 1, p_y + 1)^T$

Grenzfall  $M \in \overline{\mathbf{P}_1 \mathbf{P}_2}$  kann beliebig zugeordnet werden.

$$\delta = \left( \frac{\Delta y}{\Delta x} x + b' \right) - m_y = \frac{\Delta y \cdot m_x - \Delta x \cdot m_y + b}{\Delta x}$$

mit  $y(x) = \frac{\Delta y}{\Delta x} x + b'$  explizite Geradengleichung,  $\Delta x := x_2 - x_1, \dots, b := \Delta x \cdot b'$ .

▷ Entscheidungsvariable:

$$\bar{d} := \Delta y \cdot m_x - \Delta x \cdot m_y + b$$

$$\rightarrow \bar{d} < 0 \Rightarrow (p_x + 1, p_y)^T$$

$$\rightarrow \bar{d} > 0 \Rightarrow (p_x + 1, p_y + 1)^T$$

Kann inkrementell berechnet werden.

▷ **Bresenham-Algorithmus:**

INPUT:  $\mathbf{P}_1, \mathbf{P}_2$ , ganzzahlig in RC;

Steigung von  $\overline{\mathbf{P}_1 \mathbf{P}_2}$  zwischen 0 und 1

$$Dx = P_2.x - P_1.x;$$

$$Dy = P_2.y - P_1.y;$$

$$d = 2 * Dy - Dx;$$

$$\text{inc1} = 2 * Dy;$$

$$\text{inc2} = 2 * (Dy - Dx);$$

$$y = P_1.y;$$

$$\text{for } (x = P_1.x; x \leq P_2.x; x++) \{$$

$$\text{plot}(x, y);$$

$$\text{if } (d < 0) \{$$

$$d += \text{inc1};$$

$$\} \text{ else } \{$$

$$d += \text{inc2};$$

$$y++;$$

$$\}$$

- **Scanline-Algorithmus:** Approximation des Polygons  $(\mathbf{P}_1, \dots, \mathbf{P}_k)$  durch innere Pixel.

Kantenstruktur:

ID	x	k	y <sub>min</sub>	y <sub>max</sub>	dx	rx	$\Delta y$
----	---	---	------------------	------------------	----	----	------------

INITIALISIERUNG:

▷ Edge-Table (ET):

- enthält alle Kanten

-  $x$  auf  $x$ -Wert des untersten Punktes (bei  $y_{\min}$ ),  $k$  auf 0

- Berechne  $\Delta x \in \mathbb{Z}, \Delta y \in \mathbb{N}$  der Kante, daraus  $dx, dy$  mit  $\frac{\Delta x}{\Delta y} = dx + \frac{rx}{\Delta y}$ .

- Kanten aufsteigend lexikografisch sortiert nach  $(y_{\min}, x, dx)$

▷ Active Edge Table (AET):

ID	x	k	s <sub>x</sub>	p <sub>x</sub>
----	---	---	----------------	----------------

- leer

- Sortierung nach aufsteigendem  $s_x$

ALGORITHMUS:

▷ Aktuelle Scanline:  $y = y_{\min}$  des ersten ET-Eintrags

WHILE (ET  $\neq \emptyset$  || AET  $\neq \emptyset$ ) DO

▷ AET: Neusortierung nach  $\left(x, \frac{k}{\Delta y}\right)$  lex.

▷ AET: Übernahme von  $e \in$  ET mit  $y_{\min} = y$  (Merge Sort)

▷ Zeichnen der Spans

- Reihenfolge der Kanten legt fest, ob Schnittpunkt mit linker oder rechter Kante vorliegt.

- Berechne Schnittpunkt der Kante mit Scanline:  $s_x = x + \frac{k}{\Delta y}$

- Berechne zu zeichnenden Pixel:

$$p_x = \begin{cases} [s_x] & \text{rechte Kante} \\ [s_x] & \text{linke Kante} \end{cases}$$

▷ AET: Entfernen aller Kanten mit  $y_{\max} = y$

▷  $y = y + 1$

▷  $\forall e \in$  AET : Update Schnittparameter  $x, k$ :

- falls  $k + rx < \Delta y$ :

$$x \leftarrow x + dx; \quad k \leftarrow k + rx$$

- falls  $k + rx \geq \Delta y$ :

$$x \leftarrow x + dx + 1; \quad k \leftarrow k + rx - \Delta y$$

ENDWHILE

• **Schattierungsmodelle:**

- ▷ **Flat-Shading:** eine Farbintensität pro Polygon, konstante Farbe
- ▷ **Gouraud-Shading:** Farbintensität pro Polygonecke, lin. Interpolation im Inneren. Effekt: visuell glatte Flächen, **Machband-Effekt** (heller und dunkler „Streifen“). Bei  $n$ -gon mit  $n > 3$  hängt Ergebnis von der Lage des Polygons ab (für Dreiecke eindeutig).

• Problem bei per-Vertex-Beleuchtung (Phong): kann keine spiegelnden Anteile erzeugen, wenn diese nicht nicht an den Eckpunkten vorhanden ist. Lösungsmöglichkeiten:

- ▷ Verwende hoch aufgelöste Geometrie (hoher Aufwand).
- ▷ Verwende **per-Fragment-Beleuchtung** (übergebe Phong-Parameter zum FS).

• Lineare Interpolation von Texturkoordinaten von Polygoneckpunkten  $\Rightarrow$  falsches Ergebnis, da interpolierte Texturcoordinate unabhängig von der Ausrichtung im Raum ist.  $z$ -Werte müssen mitberücksichtigt werden!

Für  $\mathbf{P}(\alpha) = (1 - \alpha)\mathbf{P}_1 + \alpha\mathbf{P}_2$ ,  $\mathbf{P}_i = \begin{pmatrix} x_i \\ y_i \\ z_i \end{pmatrix}$  gilt:

$$T_P(\mathbf{P}(\alpha)) = \frac{(1 - \beta)T_P(\mathbf{P}_1) + \beta T_P(\mathbf{P}_2)}{\alpha z_2}$$

mit  $\beta(\alpha) = \frac{\alpha z_2}{(1 - \alpha)z_1 + \alpha z_2}$ .

GEGEBEN Punkte auf Bildebene mit konstanter Schrittweite  $\Delta_0$ :

$\mathbf{Q}_i^B = (1 - \beta_i)\mathbf{P}_1^B + \beta_i\mathbf{P}_2^B$ ,  $\beta_i = i \cdot \Delta_0 \in [0, 1]$  sowie Texturkoordinaten  $\mathbf{S}_i$  der Eckpunkte  $\mathbf{P}_i$ .

GESUCHT: Zu  $\mathbf{Q}_i^T$  geh. Texturkoord.  $\mathbf{S}_i = \begin{pmatrix} s_i \\ t_i \end{pmatrix}$ .

LÖSUNG: Umkehrung:

$$\alpha(\beta) = \frac{\beta z_1}{(1 - \beta)z_2 + \beta z_1}$$

ist urspr.  $z$ -W. von  $\mathbf{P}_i$ ,

$$\mathbf{S}_i = (1 - \alpha(\beta))\mathbf{S}_1 + \alpha(\beta)\mathbf{S}_2.$$

## 8 Strahlverfolgungstechniken

• **Raycasting:** Strahlverfolgung vom Beobachter durch jedes Pixel, Schnittpunktermittlung jedes Strahls mit jeweils nächstliegendem Objekt, Berechnung der Pixelfarbe anhand des Objektpunktes.

• **Raytracing:** Rekursive Strahlverfolgung ermöglicht indirekte Beleuchtungseffekte, Spiegelungen, Schatten, ...

• Implizite Geometriebeschr.  $F : \mathbb{R}^3 \rightarrow \mathbb{R}^3$  und  $\{\mathbf{P} \in \mathbb{R}^3 \mid F(\mathbf{P}) = 0\}$  (**Bsp.:** Kreis als  $\{(x, y) \mid x^2 + y^2 - 1 = 0\}$ ) ermöglicht effiziente Schnittpunktberechnung:  $\mathbf{R}(\alpha) = \mathbf{V} + \alpha\vec{r}$  mit  $\alpha \in \{\alpha > 0 \mid F(\mathbf{R}(\alpha)) = 0\}$ .

- ▷ Schnitt mit Ebene:  $F(\mathbf{P}) = ((\mathbf{P} - \mathbf{Q}) \cdot \vec{n})$
- ▷ Schnitt mit Polygon:

- ber. Schnittpkt.  $\mathbf{S}$  mit Polygonebene
- Point-in-Polygon-Test (s. u.)

• **Point-in-Polygon-Test:**

- Projektion in 2D entlang treibender Achse (**betraggrößte Komponente**) von  $\vec{n}$  (simples Weglassen der Komponente in allen Eckpunkten des Polygons), dann verschieben, bis  $\mathbf{S}$  im Ursprung:  $\mathbf{P}_i''$ .

2. Zähle Schnittpunkte eines beliebigen Strahls von  $\mathbf{S}$  mit Polygonkanten:

- ▷ **TA:** Sicherer Schnitt, wenn  $x_i'' > 0 \wedge x_{i+1}'' > 0 \wedge y_i'' \cdot y_{i+1}'' < 0$
- ▷ **TR:** Kein Schnitt möglich bei
  - $x_i'' < 0 \wedge x_{i+1}'' < 0$
  - $y_i'' < 0 \wedge y_{i+1}'' < 0$
  - $y_i'' > 0 \wedge y_{i+1}'' > 0$

▷ Schnitt v.  $\overline{\mathbf{P}_i\mathbf{P}_{i+1}}$  mit pos.  $x$ -Achse:

Suche  $\alpha_i \in [0, 1]$  mit  $(1 - \alpha_i)\mathbf{P}_i y_i'' + \alpha_i y_{i+1}'' = 0$

$$\Rightarrow \alpha_i = \frac{-y_i''}{y_{i+1}'' - y_i''}$$

Dann prüfe  $(1 - \alpha_i)\mathbf{P}_i'' + \alpha_i\mathbf{P}_{i+1}''$  auf positiven  $x$ -Wert.

SONDERFALL:  $\mathbf{P}_i''$  auf pos.  $x$ -Achse  $\Rightarrow$

$\mathbf{P}_i''$  ist Schnitt für  $\overline{\mathbf{P}_{i-1}''\mathbf{P}_i''}$ ,  $\overline{\mathbf{P}_i''\mathbf{P}_{i+1}''}$  bei echtem  $y$ -Vorzeichenwechsel, d. h. nur wenn  $y_{i-1}'' \cdot y_{i+1}'' < 0$ .

Liegen  $k$  aufeinanderfolgende Punkte  $\mathbf{P}_i'', \dots, \mathbf{P}_{i+k}''$  auf pos.  $x$ -Achse, muss  $y_{i-1}'' \cdot y_{i+k+1}''$  betr. werden.

• Intensität rekursiver Strahlverfolgung: Betrachte Strahlenbaum, Phong-Modell:

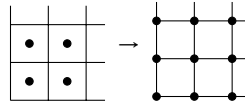
- ▷  $I_d^{(i)}$ : diffuser Anteil bei  $\mathbf{P}_i$
- ▷  $I_s^{(i)}$ : spiegelnder Anteil bei  $\mathbf{P}_i$
- ▷  $I_t^{(i)}$ : transmissiver Anteil bei  $\mathbf{P}_i$
- ▷  $I_{\text{back}}$ : Hintergrundfarbe
- ▷  $k_d^{(i)}, k_s^{(i)}, k_t^{(i)}$ : diff., spieg., transm. Reflexionskoeffizienten (Materialkonstanten)
- ▷ Visibilitätskoeffizient:

$$\varrho(\mathbf{P}, \mathbf{L}) = \begin{cases} 0 & \mathbf{L} \text{ von } \mathbf{P} \text{ verdeckt} \\ 1 & \mathbf{L} \text{ von } \mathbf{P} \text{ sichtbar} \end{cases}$$

Abbruchkriterium: feste Tiefe  $n$  (meist 2 bis 3).

• Strahlen ohne Ausdehnung erzeugen **Aliasing** (Treppenstufen) an Kanten.

- ▷ Lösung: mehrere Strahlen pro Pixel.



Kostet praktisch nichts, erzeugt Blur.

• Testen jedes Strahls gegen jedes Primitiv ist teuer  $\Rightarrow$  Einhüllen komplizierter Objekte in einfache Objekte, 2-stufiger Schnitttest.

- ▷ **Kay-Kajya-Algorithmus:** Schnitt  $\mathbf{R}(\alpha)$  mit achsenparalleler Bounding Box  $[x_{\min}, x_{\max}] \times [y_{\min}, y_{\max}] \times [z_{\min}, z_{\max}]$  für Strahl  $\mathbf{R}(\alpha) = \mathbf{V} + \alpha\vec{r}$ :

Nahezu identisch mit Clipping gegen Fensterkanten.

ALGORITHMUS:

```

Setze  $\alpha_{\min} \leftarrow -\infty$ ,  $\alpha_{\max} \leftarrow \infty$ ,
intersect  $\leftarrow$  true
FOR  $i \in \{x, y, z\}$  DO
     $\alpha_{\min}^{(i)} \leftarrow \min\{\alpha \mid \mathbf{R}(\alpha) \in \{i_{\min}, i_{\max}\}\}$ 
     $\alpha_{\max}^{(i)} \leftarrow \max\{\alpha \mid \mathbf{R}(\alpha) \in \{i_{\min}, i_{\max}\}\}$ 
    IF  $\alpha_{\max}^{(i)} < 0$  THEN
        intersect  $\leftarrow$  false
        BREAK
    ENDF
     $\alpha_{\min} \leftarrow \max\{\alpha_{\min}, \alpha_{\min}^{(i)}\}$ 
     $\alpha_{\max} \leftarrow \max\{\alpha_{\max}, \alpha_{\max}^{(i)}\}$ 
    IF  $\alpha_{\min} > \alpha_{\max}$  THEN
        intersect  $\leftarrow$  false
        BREAK
    ENDF
ENDFOR
    
```

Wir wollen nur wissen, ob wir einen Schnitt haben. Wenn ja, berechne Schnitt mit eigentlicher Geometrie.

- ▷ Raumunterteilung mit **Octree**:

Unterteilung der Szene in disjunkte, achsenparallele Quader; Anzahl Objekte pro Quader etwa gleich.

Speichere pro Quader:

- $\mathbf{P}_{\min}, \mathbf{P}_{\max}$
- Nachbar-Quader in alle 6 Richtungen
- Referenz auf Objekte, die (teilw.) im

Quader liegen

Schnittpunktermittlung:

- $\forall$  Strahl: Ermittle Quader-Sequenz, die der Strahl durchläuft.
  - Schnitt-Test mit Objekten in Quaderfolge. Sobald etwas getroffen ist, kann abgebrochen werden.
- $\rightsquigarrow \log n$  Schnitttests (sonst  $n$ ).

• **Beam tracing:** Verfolge kleine Strahlenbündel (i. A.  $2 \times 2$ ) durch Octree.

- ▷ Strahlen innerhalb der **Safety zone** (Zylinder) haben denselben Strahlenbaum.
- ▷ parallele Schnitttests durch SIMD- (*single instruction, multiple data*)-Hardware, so lange kohärent (meist 1. & 2. Rekursion).

## 9 Fortgeschrittene Rastergraphik

• **Triangle strips & triangle fans** zur Mehrfachverwendung eines Vertex & Sparen von Speicher.

• **Indizierter Vertex-Buffer:** Reihenfolge der Vertex-Attribute durch Index-Buffer, jeder Index kann mehrfach verwendet werden.

• **Transparenz mit  $\alpha$ -Kanal:** zusätzlicher Kanal für Transparenz-Info:  $(R, G, B, \alpha) \in [0, 1]^4$

- ▷  $\alpha = 0$ : komplett transparent
- ▷  $\alpha = 1$ : komplett opaque

**$\alpha$ -Blending** der aktuellen Pixelintensität im Framebuffer (*Destination*) mit der des zeichnenden Pixels (*Source*):

$$\text{pixel}_{\text{dest}}(x, y) \leftarrow k_{\text{src}}(x, y) * \text{pixel}_{\text{src}}(x, y) + k_{\text{dest}}(x, y) * \text{pixel}_{\text{dest}}(x, y)$$

Berechnung der Blendfaktoren  $k_{\text{src}}, k_{\text{dest}}$ :

- ▷ GL\_ZERO, GL\_ONE
- ▷ GL\_DEST\_COLOR, GL\_SRC\_COLOR
- ▷ ...

Zeichenreihenfolge muss back-to-front sein!

• **Billboarding:** damit Objekttexturen (z. B. Grass, Bäume) sich nicht auffällig mitdrehen, verwende mehrere zueinander verdrehte Billboards, die sich nicht mitdrehen.

• **Framebuffer Objects (FBO):** Nutzung von erzeugten Bilddaten als Textur.

- ▷ z. B. **Masken (stencils)**
- ▷ Spiegeleffekt

Pass 1: Zeichne Spiegelpolygon als Positiv-Maske in FBO

Pass 2: Zeichne gespiegelte Szene (negative  $y$ -Werte) in Framebuffer

Pass 3: Zeichne Szene ohne Maske mit Blending, hierbei hat Spiegel  $0 < \alpha < 1$ .

- ▷ Bewegungunschärfe (*motion blur*): Nutze zwei FBOs als Ping-Pong-Buffer und blende mehrere Instanzen des Objekt mit leicht verschobener Position zu einem Bild zusammen.

- ▷ **Antialiasing:** Mehrfaches Rendern mit zufällig verschobener Bildebene (**Jittern**), Blending.